

Starkniederschlagshöhen und -spenden gemäß KOSTRA-DWD-2010R

Auswertungszeitraum von 1951 - 2010, Januar - Dezember

Rasterfeld: 19026

Zeile: 19

Spalte: 26

Seite: 1/2

| Dauerstufe D | Wiederkehrzeit T | | | | | | | | | | | | | | | | | | |
|--------------|------------------|------|------------|------|------------|------|------------|------|------------|------|------------|------|------------|------|------------|------|------------|-------|------------|
| | 1 a | | 2 a | | 3 a | | 5 a | | 10 a | | 20 a | | 30 a | | 50 a | | 100 a | | |
| min | Std | mm | l / (s ha) | mm | l / (s ha) | mm | l / (s ha) | mm | l / (s ha) | mm | l / (s ha) | mm | l / (s ha) | mm | l / (s ha) | mm | l / (s ha) | mm | l / (s ha) |
| 5 | | 4,8 | 160,0 | 6,2 | 206,7 | 7,0 | 233,3 | 8,1 | 270,0 | 9,5 | 316,7 | 11,0 | 366,7 | 11,8 | 393,3 | 12,9 | 430,0 | 14,3 | 476,7 |
| 10 | | 7,5 | 125,0 | 9,5 | 158,3 | 10,7 | 178,3 | 12,1 | 201,7 | 14,1 | 235,0 | 16,1 | 268,3 | 17,2 | 286,7 | 18,7 | 311,7 | 20,7 | 345,0 |
| 15 | | 9,3 | 103,3 | 11,7 | 130,0 | 13,1 | 145,6 | 14,9 | 165,6 | 17,2 | 191,1 | 19,6 | 217,8 | 21,0 | 233,3 | 22,8 | 253,3 | 25,2 | 280,0 |
| 20 | | 10,6 | 88,3 | 13,3 | 110,8 | 14,9 | 124,2 | 16,9 | 140,8 | 19,6 | 163,3 | 22,4 | 186,7 | 24,0 | 200,0 | 26,0 | 216,7 | 28,7 | 239,2 |
| 30 | | 12,2 | 67,8 | 15,5 | 86,1 | 17,4 | 96,7 | 19,9 | 110,6 | 23,2 | 128,9 | 26,5 | 147,2 | 28,4 | 157,8 | 30,8 | 171,1 | 34,1 | 189,4 |
| 45 | | 13,7 | 50,7 | 17,6 | 65,2 | 19,9 | 73,7 | 22,9 | 84,8 | 26,8 | 99,3 | 30,8 | 114,1 | 33,1 | 122,6 | 36,0 | 133,3 | 40,0 | 148,1 |
| 60 | | 14,5 | 40,3 | 19,0 | 52,8 | 21,7 | 60,3 | 25,0 | 69,4 | 29,6 | 82,2 | 34,1 | 94,7 | 36,7 | 101,9 | 40,1 | 111,4 | 44,6 | 123,9 |
| 90 | | 16,1 | 29,8 | 20,7 | 38,3 | 23,5 | 43,5 | 26,9 | 49,8 | 31,6 | 58,5 | 36,3 | 67,2 | 39,0 | 72,2 | 42,4 | 78,5 | 47,1 | 87,2 |
| 120 | 2 | 17,3 | 24,0 | 22,0 | 30,6 | 24,8 | 34,4 | 28,4 | 39,4 | 33,1 | 46,0 | 37,9 | 52,6 | 40,7 | 56,5 | 44,2 | 61,4 | 49,0 | 68,1 |
| 180 | 3 | 19,1 | 17,7 | 24,0 | 22,2 | 26,9 | 24,9 | 30,6 | 28,3 | 35,5 | 32,9 | 40,4 | 37,4 | 43,3 | 40,1 | 46,9 | 43,4 | 51,8 | 48,0 |
| 240 | 4 | 20,6 | 14,3 | 25,6 | 17,8 | 28,5 | 19,8 | 32,2 | 22,4 | 37,3 | 25,9 | 42,3 | 29,4 | 45,3 | 31,5 | 49,0 | 34,0 | 54,0 | 37,5 |
| 360 | 6 | 22,8 | 10,6 | 28,0 | 13,0 | 31,0 | 14,4 | 34,8 | 16,1 | 40,0 | 18,5 | 45,2 | 20,9 | 48,2 | 22,3 | 52,1 | 24,1 | 57,3 | 26,5 |
| 540 | 9 | 25,2 | 7,8 | 30,6 | 9,4 | 33,7 | 10,4 | 37,7 | 11,6 | 43,0 | 13,3 | 48,4 | 14,9 | 51,5 | 15,9 | 55,4 | 17,1 | 60,8 | 18,8 |
| 720 | 12 | 27,1 | 6,3 | 32,6 | 7,5 | 35,8 | 8,3 | 39,8 | 9,2 | 45,3 | 10,5 | 50,8 | 11,8 | 54,0 | 12,5 | 58,0 | 13,4 | 63,5 | 14,7 |
| 1080 | 18 | 30,0 | 4,6 | 35,7 | 5,5 | 39,0 | 6,0 | 43,1 | 6,7 | 48,8 | 7,5 | 54,4 | 8,4 | 57,7 | 8,9 | 61,9 | 9,6 | 67,5 | 10,4 |
| 1440 | 24 | 32,3 | 3,7 | 38,1 | 4,4 | 41,4 | 4,8 | 45,7 | 5,3 | 51,4 | 5,9 | 57,2 | 6,6 | 60,6 | 7,0 | 64,8 | 7,5 | 70,6 | 8,2 |
| 2880 | 48 | 41,8 | 2,4 | 49,0 | 2,8 | 53,2 | 3,1 | 58,5 | 3,4 | 65,7 | 3,8 | 72,9 | 4,2 | 77,1 | 4,5 | 82,4 | 4,8 | 89,6 | 5,2 |
| 4320 | 72 | 48,6 | 1,9 | 56,6 | 2,2 | 61,3 | 2,4 | 67,3 | 2,6 | 75,3 | 2,9 | 83,3 | 3,2 | 88,0 | 3,4 | 94,0 | 3,6 | 102,0 | 3,9 |

Angaben in mm: Bemessungsniederschlagswerte h(n)

Angaben in l / (s ha): Regenspende R(n) mit $R(n) = h(n) \times 1,666667 / D[\text{min}]$

Toleranzbereiche:

+/- 10 % für $1 \text{ a} \leq T \leq 5 \text{ a}$

+/- 15 % für $5 \text{ a} < T \leq 50 \text{ a}$

+/- 20 % für $50 \text{ a} < T \leq 100 \text{ a}$

Datenbasis: KOSTRA-DWD-2010R des Deutschen Wetterdienstes. Die Regenspende wurde auf Basis des Bemessungsniederschlags zur jeweiligen Andauer berechnet.

Für die Richtigkeit und Aktualität der Angaben wird keine Gewähr übernommen. Erstellt 07/2022.

Starkniederschlagshöhen und -spenden gemäß KOSTRA-DWD-2010R

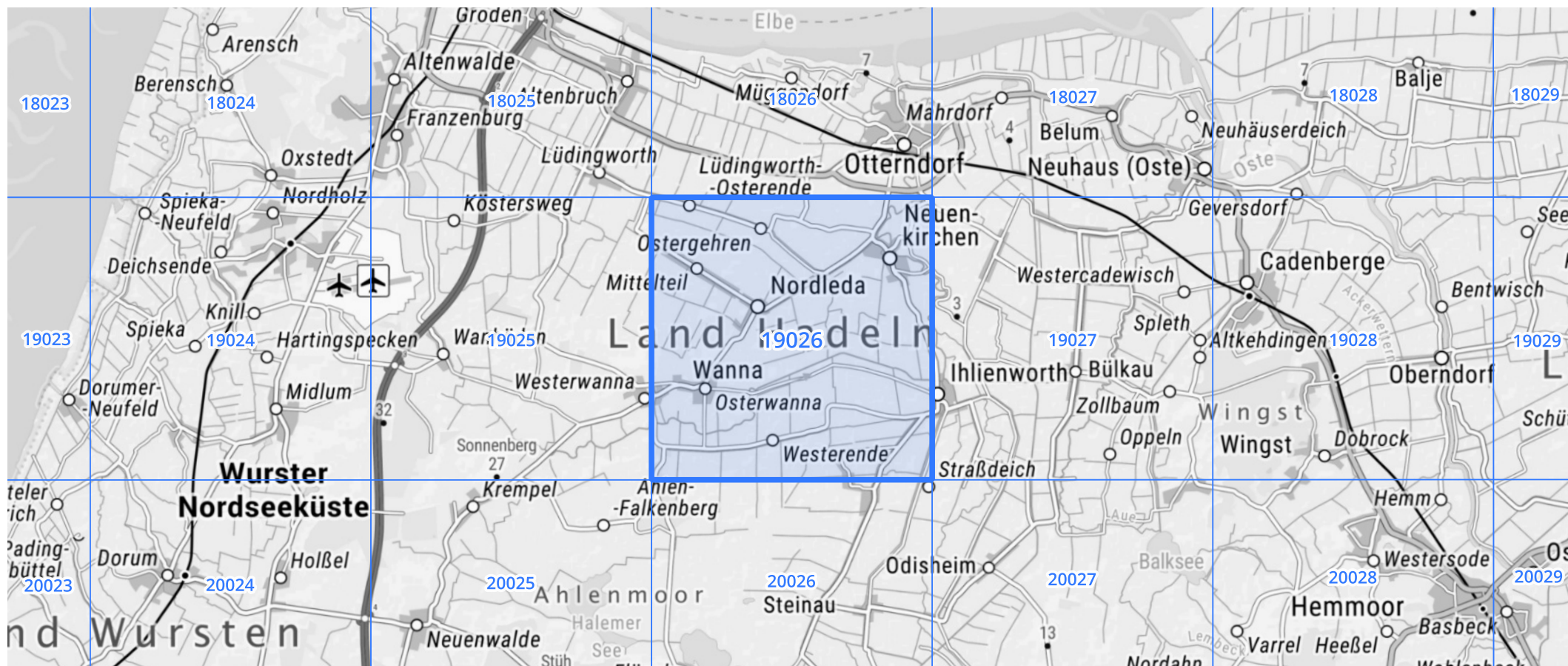
Auswertungszeitraum von 1951 - 2010, Januar - Dezember

Rasterfeld: 19026

Zeile: 19

Spalte: 26

Seite: 2/2



Quelle Rasterdaten: KOSTRA-DWD-2010R des Deutschen Wetterdienstes.

Kartendarstellung: © Bundesamt für Kartographie und Geodäsie (2022), Datenquellen: https://sgx.geodatenzentrum.de/web_public/gdz/datenquellen/Datenquellen_TopPlusOpen.html

Für die Richtigkeit und Aktualität der Angaben wird keine Gewähr übernommen. Erstellt 07/2022.